



انجمن علمی تفکیک مواد دارای ایندکس ایران

مقاله پژوهشی

مجله سنجش و ایمنی پرتو، جلد ۹، شماره ۴، پاییز ۱۴۰۰، صفحه ۲۳-۳۰

تاریخ دریافت مقاله: ۱۴۰۰/۰۶/۰۱، تاریخ پذیرش مقاله: ۱۴۰۰/۰۹/۱۲



مقایسه منحنی‌های تفکیک مواد حاصل از چهار الگوریتم $R-T$, $\text{Log}-\text{Log}$, $r-\theta$ و a_2-a_1 در

یک سیستم تصویربرداری دو انرژی

میثم غائبی^۱، مجتبی تاجیک^{۱*} و روح الله عظیمی راد^۲

^۱دانشکده فیزیک، دانشگاه دامغان، دامغان، سمنان، ایران.

^۲دانشکده فیزیک، دانشگاه صنعتی مالک اشتر، تهران، ایران.

*سمنان، دامغان، دانشگاه دامغان، دانشکده فیزیک، کدپستی: ۳۶۷۱۶-۴۱۱۷

پست الکترونیکی: tajik@du.ac.ir

چکیده

تصویربرداری پرتوی ایکس دو انرژی یکی از فناوری‌های بازرسی مهم در تصویربرداری از محموله‌های بزرگ برای یافتن مواد غیرقانونی از قبیل مواد منفجره، مواد مخدوش، اسلحه‌ها و ... است. ویژگی مفید تصویربرداری پرتوی ایکس دو انرژی، امکان شناسایی و تفکیک مواد با اعداد اتمی متفاوت است که این امر با تصویربرداری از محموله‌های بزرگ در دو انرژی متفاوت پرتو ایکس (عموماً بالای ۳ MeV) صورت می‌گیرد. در این پژوهش، ابتدا یک سیستم تصویربرداری پرتوی ایکس دو انرژی شامل چشممه‌های پرتو ایکس، موازی‌ساز و آرایه آشکارساز با استفاده از کد MCNPX شبیه‌سازی شده است. سپس داده‌های حاصل از این سیستم تصویربرداری برای چهار گوه پله‌ای از جنس‌های گرافیت، آلومینیوم، استیل و سرب جمع‌آوری شده و منحنی‌های تفکیک مواد با استفاده از چهار الگوریتم $\text{Log}-\text{Log}$, $R-T$, $r-\theta$ و a_2-a_1 به دست آمده است. نتایج حاصل نشان می‌دهد که از بین الگوریتم‌های پیشنهادی برای تفکیک مواد، الگوریتم‌های $R-T$, $r-\theta$ و a_2-a_1 دارای عملکرد بهتری هستند و الگوریتم $R-T$ با توجه به همپوشانی کمتر منحنی‌های تفکیک مواد برای ضخامت‌های پایین نمونه‌ها، می‌تواند انتخاب مناسب‌تری برای به دست آوردن منحنی‌های تفکیک مواد در سیستم‌های تصویربرداری دو انرژی باشد.

کلیدواژگان: تصویربرداری، پرتو ایکس، دو انرژی، تفکیک مواد، شبیه‌سازی، الگوریتم.

۱. مقدمه

چگالی مواد موجود در بار را با استفاده از الگوریتم‌های تفکیک مواد و دو تصویر به دست آمده از محموله در دو انرژی مختلف فراهم کرده و کمک می‌کنند تا مواد موجود در محموله با دقت بالایی شناسایی شوند [۶-۸]. بنابراین این سیستم‌ها نسبت به سیستم‌های تصویربرداری پرتو ایکس تک‌انرژی که مواد مختلف را تنها بر حسب چگالی آن‌ها شناسایی می‌کنند، مفید‌تر و کاربردی‌تر هستند [۹-۱۰]. در این سیستم‌های تصویربرداری، پرتوهای ایکس با دو طیف انرژی مختلف

تصویربرداری پرتو ایکس دو انرژی که یکی از مهم‌ترین و پر کاربردترین فناوری‌های بازرسی است، به‌طور گستردگای در امنیت عمومی، فرودگاه‌ها، بنادر، گمرک و ... مورد استفاده قرار می‌گیرد [۱-۲]. از این فناوری برای بازرسی محموله‌های با اندازه بزرگ برای یافتن مواد منفجره، چشممه‌های رادیوакتیو، اسلحه، مواد هسته‌ای، مواد مخدوش و سایر مواد غیرقانونی استفاده می‌شود [۳-۵]. سیستم‌های تصویربرداری پرتو ایکس دو انرژی، امکان به دست آوردن اطلاعات در مورد عدد اتمی و

پیچیدگی و زمان بر بودن شبیه سازی سیستم های تصویربرداری پرتو ایکس دو انرژی باعث شده است که مطالعات بسیار کمی در زمینه بررسی و مقایسه الگوریتم های مختلف تفکیک مواد صورت بگیرد. در حالی که انتخاب الگوریتم مناسب برای تفکیک مواد از مهم ترین مراحل در تفکیک بهینه مواد در سیستم های بازرگانی است.

در این مطالعه، ابتدا یک سیستم تصویربرداری پرتو ایکس دو انرژی شامل چشمه های پرتو ایکس، موازنی ساز و آرایه آشکارساز پرتو ایکس با استفاده از کد MCNPX شبیه سازی شده است. سپس داده های شبیه سازی برای چهار گره پله ای از جنس های گرافیت، آلومینیوم، استیل و سرب جمع آوری شده و با استفاده از چهار الگوریتم Log-Log، $R-T$, $r-\theta$ و $\alpha_2-\alpha_1$ منحنی های تفکیک مواد برای عنصر ذکر شده به دست آمده است. نتایج به دست آمده نشان می دهد که از بین الگوریتم های مورد استفاده برای تفکیک مواد، الگوریتم های $R-T$, $r-\theta$ و $\alpha_2-\alpha_1$ دارای عملکرد بهتری هستند و تفکیک بهتری را فراهم می کنند. هم چنین با توجه به نتایج به دست آمده و از آن جا که در الگوریتم $R-T$ ، منحنی های تفکیک مواد برای ضخامت های کم گوهها، هم پوشانی کمتری نسبت به سایر الگوریتم ها دارند، می تواند بهترین انتخاب برای استفاده در سیستم های تصویربرداری دو انرژی باشد.

۲. مواد و روش ها

۱.۲. شبیه سازی

به طور کلی یک سیستم تصویربرداری پرتو ایکس دو انرژی از یک چشمۀ پرتو ایکس، موازنی سازها و فیلتر های باریکه، آشکارساز های پرتو ایکس، تجهیزات اکتساب و جمع آوری داده، سیستم کنترل، کامپیوترها و حفاظت های تابشی تشکیل می شود [۱۴]. چشمۀ پرتو ایکس استاندارد معمولاً یک شتاب دهنده خطی است که پالس های پرتو ایکس پسی در پسی با دو انرژی متفاوت (۶ و 6 MeV یا 6 MeV و 9 MeV) تولید می کند و با یک بار عبور پرتو ایکس از یک محموله، امکان تفکیک مواد را فراهم می آورد. چشمۀ پرتو ایکس مورد استفاده در این پژوهش، یک شتاب دهنده خطی است که پالس های پرتو ایکس

توسط یک چشمۀ پرتوی ایکس (عموماً یک شتاب دهنده خطی) تولید شده و از محموله بار عبور می کنند و سپس توسط آرایه ای از آشکارسازها، آشکارسازی می شوند. لازم به ذکر است که به منظور تصویربرداری از محموله های بار با اندازه بزرگ، پرتو های ایکس پرانرژی (ممولاً تا 9 MeV) با توانایی نفوذ بالا مورد نیاز است [۱۱-۱۲]. در این محدوده انرژی، تفکیک مواد بر پایه وابستگی های غیرخطی برهمنش کامپیون و اثر تولید زوج به انرژی است. در انرژی های بالاتر پرتو ایکس، تولید زوج با احتمال بالاتری رخ می دهد و در نتیجه با افزایش انرژی چشمۀ پرتو ایکس، تفکیک مواد بهبود می یابد [۳، ۷، ۱۳].

به طور کلی برای بررسی و تفکیک مواد در مقیاس بزرگ نظری محموله های بار، تفکیک حداقل چهار گروه از مواد پایه با دسته بندی زیر مطلوب است [۱]:

۱. مواد سبک یا آلی با عدد اتمی کوچک ($Z \leq 10$)
۲. مواد دارای عدد اتمی متوسط ($10 < Z \leq 20$)
۳. مواد غیر آلی ($20 < Z \leq 50$)
۴. فلزات سنگین با عدد اتمی بالا ($Z > 50$)

در این پژوهش، چهار عنصر گرافیت، آلومینیوم، استیل و سرب که به ترتیب نماینده مواد سبک یا آلی با عدد اتمی کوچک، مواد دارای عدد اتمی متوسط، مواد غیرآلی و فلزات سنگین با عدد اتمی بالا هستند، مورد استفاده قرار گرفته اند. طی دهه های اخیر، پژوهش های مختلفی در زمینه تفکیک مواد با استفاده از الگوریتم های مختلف صورت گرفته است. در سال ۲۰۰۷، وو و همکاران با استفاده از روش منحنی α ، منحنی های تفکیک مواد شبیه سازی و تجربی را به دست آورده و سپس با استفاده از نتایج حاصل، حدود انرژی های بالا و پایین به کار رفته در تصویربرداری با پرتو ایکس دو انرژی را بهینه سازی کردند. در سال ۲۰۱۱، گیل و همکاران با استفاده از الگوریتم $R-T$ موفق شدند نتایج شبیه سازی خوبی را در زمینه تفکیک مواد مختلف به دست آورند. لی و همکاران در سال ۲۰۱۶، الگوریتمی را بر پایه روش منحنی α ارائه کردند که با استفاده از آن، عملکرد تفکیک مواد تجربی و شبیه سازی در حالتی که دو یا چند ماده هم پوشانی دارند، بهبود می یابد.

مجدداً دو چشمۀ سطحی پرتوی ایکس به دست آمده و شبیه‌سازی‌ها مجدداً انجام گرفت. در این حالت، بیشترین خطای شبیه‌سازی که مربوط به ضخامت 10 cm از گوه پله‌ای سرب بود، حدود ۷٪ بود. از آنجا که سیستم‌های معمولی (رايانه با رم ۸ GB و پردازنده i7 Intel Core با فرکانس 2.8 GHz) توان پردازش شبیه‌سازی با این تعداد الکترون اولیه را نداشتند (زمان بسیار طولانی در حد چند سال مورد نیاز بود)، لذا از سرور محاسباتی با توان پردازشی بسیار بالا استفاده شد (رم 128 GB و 160 هسته با فرکانس 3.6 GHz). زمان تقریبی انجام این شبیه‌سازی حدود ۶ ماه بود.

دلیل این که برای انجام شبیه‌سازی، دو چشمۀ سطحی پرتو ایکس با استفاده از کارت‌های SSW و SSR حاصل شد، این بود که شبیه‌سازی باید بارها تکرار می‌شد و اجرای چندباره شبیه‌سازی از ابتدا (یعنی برخورد $10 \times 10\text{ mm}^2$ الکترون اولیه به هدف و تولید فوتون و ...) بسیار زمان‌بر بود و عملاً امکان انجام آن وجود نداشت.

آرایه آشکارساز خطی به کار رفته در این پژوهش شامل 42 mm مازول است که هر مازول از $22\text{ پیکسل آشکارساز تشکیل شده است. هر پیکسل دارای سطح مقطع }5/2 \times 5/2\text{ mm}^2$ و ضخامت 50 mm است و با یک لایه سوسوزن ساخته شده از بلور CsI(Tl) به صورت نوری جفت شده است. با توجه به پیچیدگی هندسه آرایه آشکارساز و زاویه منحصر به فرد هر کدام از این مازول‌ها با زمین، مشکلاتی در شبیه‌سازی این آرایه در کد MCNPX پیش آمد. لذا تصمیم گرفته شد که ابتدا هندسه آرایه در برنامه AutoCAD تعریف گردد و سپس با استفاده از برنامه Visual Editor به صورت سطوح قابل استفاده در کد MCNPX استخراج شود. هنگام استخراج هندسه آشکارسازها از برنامه AutoCAD، تعداد بسیار زیادی سطح تکراری تولید شد که برای حذف این سطح‌های تکراری، از برنامه پس‌پردازشی نوشته شده در کد پایتون استفاده شد.

موازی‌ساز به کار رفته در پژوهش از جنس سرب و دارای ارتفاع 300 cm و ضخامت 40 cm است که دریچه‌ای با عرض 1 cm بر روی آن تعییه شده است. برای به دست آوردن منحنی‌های تفکیک مواد برای چهار عنصر گرافیت، آلومینیوم،

پس‌پری سا دو انرژی $4\text{ و }6\text{ MeV}$ را از طریق برخورد الکترون‌های شتاب‌دار به هدف تنگستنی تولید می‌کند. هم‌چنین از یک فیلتر سربی با ضخامت 2 mm به عنوان فیلتر باریکه در جلوی خروجی باریکه پرتو ایکس از شتاب‌دهنده استفاده شده است تا بخش فوتون‌های کم‌انرژی از باریکه حذف شود. این کار باعث افزایش تفکیک بین میانگین‌های انرژی دو باریکه پرتو ایکس شده و به نوبه خود کیفیت نتایج نهایی را بهبود می‌بخشد. لازم به ذکر است که با توجه به ضخامت زیاد گوه‌ها، فوتون‌های کم‌انرژی در گوه‌ها جذب شده و اغلب فوتون‌های رسیده به آرایه آشکارساز از نوع فوتون‌های پرانرژی هستند. در این محدوده انرژی، واکنش‌های کامپتون و تولید زوج واکنش‌های غالب خواهد بود.

شبیه‌سازی این شتاب‌دهنده قبلاً در مرجع [۱۵] توسط نویسنده‌گان این پژوهش انجام گرفته و طیف‌های پرتو ایکس خروجی از این شتاب‌دهنده به دست آمده است. با استفاده از نتایج این مرجع و با استفاده از کارت‌های SSW و SSR در کد MCNPX، ابتدا دو چشمۀ سطحی پرتو ایکس با انرژی‌های الکترون اولیه $4\text{ و }6\text{ MeV}$ حاصل شد. برای به دست آوردن چشمۀ‌های سطحی، ابتدا یک سطح در خروجی شتاب‌دهنده تعریف شده و سپس با اجرای برنامه، کلیه اطلاعات مربوط به پرتوهای ایکس رسیده به این سطح در یک فایل ثبت می‌شود (با استفاده از کارت SSW). سپس این سطح به عنوان چشمۀ فوتونی در برنامه اصلی فراخوانی می‌شود (کارت SSR). تعداد الکترون‌های اولیه برای دو انرژی ذکر شده برابر با $2/1 \times 10^9$ استخراج گردید.

با توجه به این که تعداد فوتون‌های تولید شده در این حالت نسبتاً پایین بود و در سیستم‌های تصویربرداری دو انرژی، فاصله بین شتاب‌دهنده و آرایه آشکارساز زیاد است (در این پژوهش تقریباً برابر با 684 cm در نظر گرفته شد)، درنتیجه تعداد فوتون‌های رسیده به پیکسل‌های آرایه آشکارساز در این حالت پایین بوده و خطای شبیه‌سازی (تالی F1) خصوصاً برای ضخامت‌های بالای گوه‌ها بالا بود (در بعضی از ضخامت‌ها خطای شبیه‌سازی تا 80% نیز می‌رسید). درنتیجه برای حل این مشکل، تعداد الکترون‌های اولیه برابر با 10×10^{12} تعیین شده و

به پیکسل های آرایه آشکارساز کمتر می شود و این کاهش با افزایش ضخامت گوه بیشتر می شود. ضمن این که برای عناصر مختلف این کاهش تعداد فوتون ها متفاوت است. این اساس کار جداسازی و تفکیک مواد محسوب می شود.

برای به دست آوردن نتایج نهایی شبیه سازی، هر کدام از گوه های پله ای با گام $5/2 \text{ mm}$ (عرض یک پیکسل آشکارساز) در فضای بین چشم و آشکارساز جابه جا شده و پس از هر بار جابه جایی، یک بار کد اجرا شده و نتیجه (شمارش فوتون ها در پیکسل های آرایه آشکارساز) به دست آمد.

این جابه جایی گوه ها و اجرای کد تا زمانی که تمام گوه ها (به طول 1 m) از فضای بین چشم و آشکارساز عبور کنند ادامه می یافتد. با توجه به این که این جابه جایی ها باید 200 مرتبه تکرار می شوند، از یک برنامه پس پردازشی نوشته شده با کد پایتون برای انجام جابه جایی و اجرای مجدد شبیه سازی پس از هر بار جابه جایی استفاده شد.

این روند یک بار برای چشم 4 MeV و بار دیگر برای چشم 6 MeV پرتو ایکس انجام شد تا نتایج نهایی برای دو چشم پرتو ایکس به دست آید. ضمن این که برای هر کدام از چشم های پرتو ایکس، یک بار شبیه سازی در غیاب گوه های پله ای اجرا شد تا شمارش فوتون ها در پیکسل های آرایه آشکارساز در این حالت به دست آید. در نهایت نتایج شبیه سازی آشکارساز در این حالت به دست آمد. در ادامه با استفاده از کد پایتون برنامه ای پس پردازشی نوشته شد که این ماتریس های ستونی را در کنار هم قرار داده و برای هر عنصر دو ماتریس نهایی (یک ماتریس مربوط به انرژی 4 MeV و یک ماتریس مربوط به انرژی 6 MeV) تشکیل گردید که مؤلفه های آن، تعداد فوتون های 1344×1 به دست آمد. در ادامه با استفاده از کد پایتون برنامه ای پس پردازشی نوشته شد که این ماتریس های ستونی را در کنار هم قرار داده و برای هر عنصر دو ماتریس نهایی (یک ماتریس مربوط به انرژی 4 MeV و یک ماتریس مربوط به انرژی 6 MeV) تشکیل گردید که مؤلفه های آن، تعداد فوتون های رسیده به پیکسل های آرایه آشکارساز هستند.

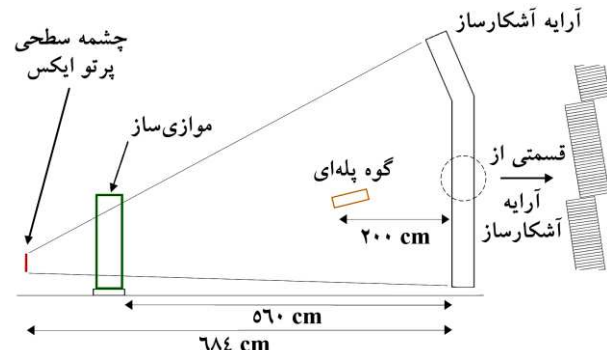
ماتریس ستونی (a) در شکل ۳، مربوط به شمارش فوتون های چشم پرتو ایکس 6 MeV در تعدادی از پیکسل های آرایه آشکارساز در غیاب گوه پله ای و ماتریس ستونی (b)، مربوط به شمارش فوتون ها در همان پیکسل ها پس از عبور فوتون ها از ضخامت 8 cm گوه پله ای آلومینیوم است.

استیل و سرب، تعداد چهار گوه پله ای با سطح مقطع های برابر با 200 mm^2 و ضخامت های مختلف برای هر عنصر شبیه سازی گردید. در جدول ۱ ضخامت های گوه های پله ای برای هر کدام از این عناصر آمده است.

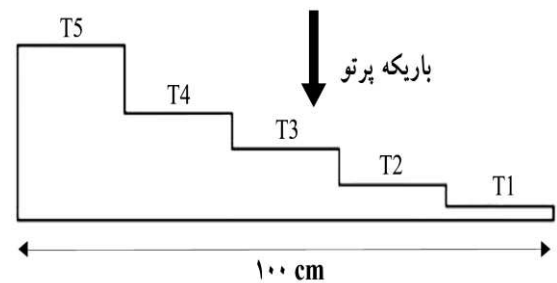
جدول (۱): ضخامت های گوه های پله ای.

ضخامت ماده	T5 (mm)	T4 (mm)	T3 (mm)	T2 (mm)	T1 (mm)
سرب	۱۰۰	۶۰	۴۰	۲۰	۱۰
استیل	۱۵۰	۹۰	۶۰	۳۰	۱۵
آلومینیوم	۴۰۰	۲۵۰	۱۶۰	۸۰	۴۰
گرافیت	۶۰۰	۴۰۰	۲۰۰	۱۰۰	

در شکل ۱، نمای شماتیکی از آرایش اجزای شبیه سازی قابل مشاهده است. هم چنین در شکل ۲ چگونگی قرار گیری گوه های پله ای در برابر چشم پرتو ایکس نشان داده شده است.



شکل (۱): نمای شماتیک از آرایش شبیه سازی به کار رفته در پژوهش.



شکل (۲): نحوه قرار گیری گوه پله ای در برابر چشم پرتو ایکس.

لازم به ذکر است که اساس این پژوهش بر پایه شمارش فوتون های رسیده به پیکسل های آرایه آشکارساز است. مشخص است که زمانی که گوه پله ای مربوط به یک عنصر در مقابل چشم پرتو ایکس قرار می گیرد، تعداد فوتون های رسیده

ضخامت ماده است. از آنجا که ضرایب تضعیف مواد مختلف به انرژی فوتون ایکس بستگی داشته و پرتوهای ایکس دارای طیف‌های پیوسته با انرژی‌های متفاوت فوتون هستند، در نتیجه اثر نهایی از طریق انتگرال‌گیری بر روی رابطه ۱ حاصل می‌شود:

$$I = \int I_0(E) \cdot e^{-\mu(E,Z) \cdot t} dE \quad (\textcircled{2})$$

با توجه به رابطه فوق برای شفافیت داریم:

$$T = \frac{\int I_0(E) \cdot e^{-\mu(E,Z) \cdot t} dE}{\int I_0(E) dE} \quad (\text{3})$$

در این دو معادله، E انرژی فوتون است. رابطه فوق به این معنی است که شفافیت به صورت نسبت سیگنال آشکارساز در حالتی که جسم حضور دارد، نسبت به حالتی که جسم حضور ندارد تعریف می‌شود. برای یک سیستم تصویربرداری پرتو یا کس دو انرژی:

$$T_H = \frac{I_{HM}}{I_{H0}} = e^{-\mu_H t} \quad (\xi)$$

$$T_L = \frac{I_{LM}}{I_{L0}} = e^{-\mu_L t} \quad (5)$$

که اندیس‌های H و L به ترتیب مربوط به انرژی‌های الکترون e و MeV هستند. I_{H0} و I_{L0} شدت‌های پرتو ایکس در غیاب جسم (شدت در هوای I_{HM}) و شدت‌های پرتو ایکس در حضور جسم (شدت‌های پرتو ایکس پس از عبور از جسم)، t ضخامت جرمی ماده و μ_H و μ_L ضرایب تضعیف

از آنجایی که مقادیر μ با توجه به انرژی پرتو ایکس تغییر می‌کند، در نتیجه روابط ۴ و ۵ را نمی‌توان به پرتوهای ایکس ترمزی که دارای طیف‌های پیوسته انرژی هستند، اعمال کرد. با این حال از آن‌جا که پارامتر I از طریق انتگرال‌گیری روش کل محدوده انرژی، نمایان‌گر طیف گسترده است، μ را می‌توان به عنوان ضریب تبدیل بین I_{H0} و I_{LM} (یا I_{L0}) دانظر گفت [۱۶-۱۷].

تاکنون الگوریتم‌های مختلفی برای به دست آوردن منحنی‌های تفکیک مواد مورد استفاده قرار گرفته است که در این پژوهش با استفاده از داده‌های حاصل از شبیه‌سازی، منحنی‌های تفکیک مواد با استفاده از چهار الگوریتم به دست

...	...
...	...
V2+V+	V9V1
V2+V3	V9A2
V2+V2	V9A9
V2+V8	V9AA
V2+V0	V9A0
V2+V+	V9A4
...	...
...	...

شکل (۳): (a) شمارش فوتون‌های چشمی پرتو ایکس ۶ MeV در تعدادی از پیکسل‌های آرایه آشکارساز در غیاب گوه پله‌ای. (b) شمارش فوتون‌ها در همان پیکسل‌ها پس از عبور فوتون‌ها از ضخامت ۸ cm گوه پله‌ای آلومینیوم.

لازم به ذکر است که میانگین شمارش فوتون‌ها پیکسل‌هایی از آرایه آشکارساز که فوتون‌ها پس از عبور از ضخامت‌های گوه پله‌ای به آن‌ها می‌رسند، کمیت‌های I_{HM} و I_{LM} و میانگین شمارش فوتون‌ها در همان پیکسل‌ها در غیاب گوه پله‌ای کمیت‌های I_{HO} و I_{L0} را تشکیل می‌دهند که در بخش بعد به طور کامل در این مورد بحث خواهد شد.

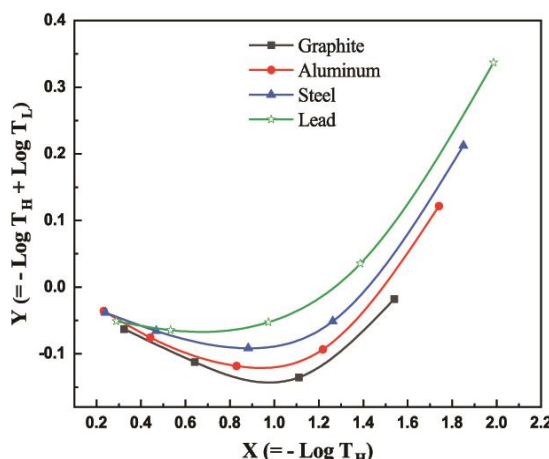
۲.۲. الگوریتم‌های تفکیک مواد

تفکیک مواد در یک سیستم بازرسی بار با به دست آوردن
داده ها (شمارش فوتون ها در پیکسل های آرایه آشکارساز) در
دو انرژی مختلف انجام می گیرد. بر پایه داده های حاصل،
ویژگی هایی از قبیل چگالی و عدد اتمی مواد موجود در محموله
بار را می توان محاسبه کرد. برای به دست آوردن منحنی های
تفکیک مواد از الگوریتم ها و روش های مختلفی استفاده
می شود. این روش ها بر پایه کمیتی به نام شفافیت (T) عمل
م کنند. اساساً تضمین داری، به ته ایکس ده اند ۷۲، به پایه

قانون تجربی تضعیف تابش فوتونی استوار است:

$$I = I_0 e^{-\mu x} \quad (1)$$

که در آن I و I_0 به ترتیب، شدت‌های باقیمانده و اولیه (قبل از نفوذ به ضخامت x ماده) پرتو ایکس، μ ضریب تضعیف و x

شکل (۴): منحنی های تفکیک مواد حاصل از الگوریتم $\alpha_2-\alpha_1$.

آمده است که در ادامه، توضیح مختصری در مورد هر کدام از این الگوریتم ها ارائه می شود.

۱.۱. الگوریتم $\alpha_2-\alpha_1$

مختصات مورد استفاده در این الگوریتم به صورت زیر است:

$$(x) \alpha_1 = -\log T_H \quad (6)$$

$$(y) \alpha_2 = -\log T_H + \log T_L \quad (7)$$

۱.۲. الگوریتم Log-Log

این الگوریتم مشابه الگوریتم $\alpha_2-\alpha_1$ است و از مختصات زیر استفاده می کند:

$$x = -\log T_L \quad (8)$$

$$y = -\log T_H \quad (9)$$

۱.۳. الگوریتم r-θ

این الگوریتم از تبدیل Log-Log به مختصات قطبی حاصل می شود:

$$(x) r = \sqrt{(\log T_H)^2 + (\log T_L)^2} \quad (10)$$

$$(y) \theta = \tan^{-1} (\log T_L / \log T_H) \quad (11)$$

۱.۴. الگوریتم R-T

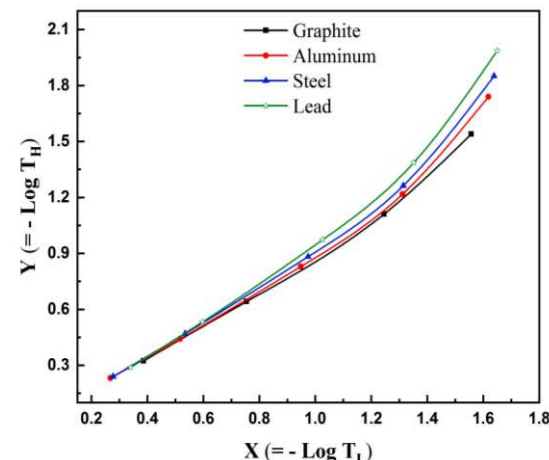
این الگوریتم از مختصات زیر استفاده می کند:

$$x = -\ln T_H \quad (12)$$

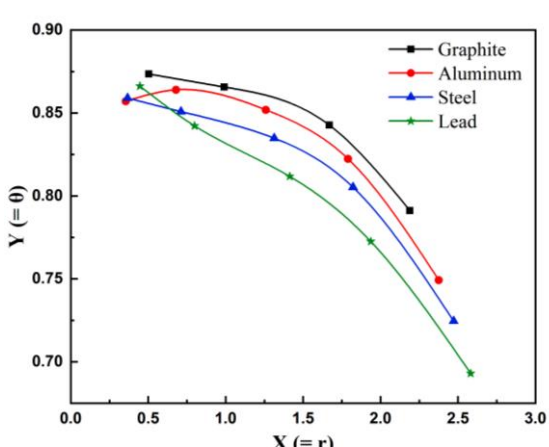
$$(y) R = \ln T_H / \ln T_L \quad (13)$$

۲. بحث و نتایج

با استفاده از الگوریتم های توصیف شده در بخش قبل منحنی های تفکیک مواد، برای چهار عنصر گرافیت، آلمینیوم، استیل و سرب به دست آمد که در شکل های ۴ تا ۷ نشان داده شده اند.



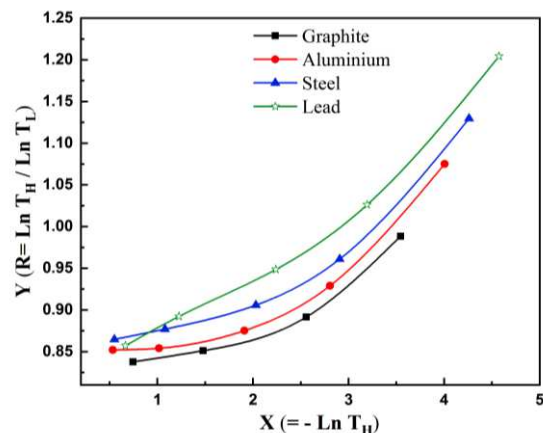
شکل (۵): منحنی های تفکیک مواد حاصل از الگوریتم Log-Log.



شکل (۶): منحنی های تفکیک مواد حاصل از الگوریتم r-θ.

ایکس، موازی‌ساز و آرایه آشکارساز انجام شد. در ادامه نتایج شبیه‌سازی (شمارش فوتون‌ها در پیکسل‌های آرایه آشکارساز) با استفاده از گووهای پله‌ای با ضخامت‌های مختلف از جنس عناصر گرافیت، آلومینیوم، استیل و سرب که به ترتیب نماینده مواد سبک یا آلی با عدد اتمی کوچک، مواد دارای عدد اتمی متوسط، مواد غیر آلی و فلزات سنگین با عدد اتمی بالا هستند، به دست آمد. سپس با استفاده از داده‌های حاصل از شبیه‌سازی، منحنی‌های تفکیک مواد با استفاده از الگوریتم‌های Log-Log, R-T, $R-\theta$ و $\alpha_2-\alpha_1$ به دست آمد.

نتایج حاصل نشان داد که تفکیک مواد با استفاده از هر چهار الگوریتم قابل انجام است، اما سه الگوریتم $R-\theta$, $R-T$ و $\alpha_2-\alpha_1$ دارای عملکرد بهتری بوده و تفکیک مناسب‌تری را فراهم می‌کنند. هم‌چنین مشاهده شد که منحنی‌های تفکیک مواد حاصل از الگوریتم $\alpha_2-\alpha_1$ نسبت به الگوریتم‌های دیگر دارای شکل پیچیده‌تری بوده و تقریباً به شکل سه‌می هستند. در حالی که منحنی‌های تفکیک مواد حاصل از الگوریتم‌های $R-T$ و $R-\theta$ دارای شکل ساده‌تری بوده و بسیار مشابه هم هستند. لذا برای بدست آوردن روابط ریاضی برای منحنی‌های تفکیک مواد حاصل از این الگوریتم‌ها که می‌توان از آن‌ها در کالیبراسیون سیستم‌های تصویربرداری دو انرژی استفاده کرد، الگوریتم‌های $R-T$ و $R-\theta$ انتخاب مناسب‌تری هستند. ضمناً نتایج حاصل نشان داد که از میان الگوریتم‌های $R-T$, $R-\theta$ و $\alpha_2-\alpha_1$ ، به دلیل این‌که منحنی‌های تفکیک مواد حاصل از الگوریتم $R-T$ برای ضخامت‌های پایین دارای هم‌پوشانی کمتری نسبت به دو الگوریتم دیگر است، در انتخاب مناسب‌تری برای استفاده در سیستم‌های دو انرژی است.



شکل (۷): منحنی‌های تفکیک مواد حاصل از الگوریتم $R-T$

با توجه به شکل‌ها مشاهده می‌شود که تفکیک مواد با استفاده از هر چهار الگوریتم انجام گرفته است. اما الگوریتم‌های $R-\theta$, $R-T$ و $\alpha_2-\alpha_1$ دارای عملکرد بهتری بوده و تفکیک مناسب‌تری را فراهم می‌کنند. هم‌چنین مشاهده می‌شود که منحنی‌های تفکیک مواد حاصل از دو الگوریتم $R-\theta$ و $R-T$ بسیار مشابه هم هستند. منحنی‌های تفکیک مواد حاصل از الگوریتم $\alpha_2-\alpha_1$ دارای شکل پیچیده‌تری بوده و تقریباً به شکل سه‌می هستند. با توجه به شکل‌ها مشاهده می‌شود که از میان الگوریتم‌های $R-T$, $R-\theta$ و $\alpha_2-\alpha_1$ ، به دلیل این‌که منحنی‌های تفکیک مواد حاصل از الگوریتم $R-T$ برای ضخامت‌های پایین دارای هم‌پوشانی کمتری نسبت به دو الگوریتم دیگر است، در حالت کلی انتخاب مناسب‌تری برای استفاده در سیستم‌های دو انرژی است.

۴. نتیجه‌گیری

در این پژوهش، ابتدا شبیه‌سازی یک سیستم تصویربرداری پرتو ایکس دو انرژی شامل اجزایی از قبیل چشم‌های پرتو

۵. مراجع

- [1] D. Lee, J. Lee, J. Min, B. Lee, B. Lee, K. Oh, J. Kim and S. Cho. Efficient material decomposition method for dual-energy X-ray cargo inspection system, *Nucl Instrum Methods Phys Res A*, 884 (2018) 105-112.
- [2] S. Abbasi, M. Mohammadzadeh and M. Zamzamian. A novel dual high-energy X-ray imaging method for materials discrimination, *Nucl Instrum Methods Phys Res A*, 930 (2019) 82-86.
- [3] J. Kwong and W.G.J. Langeveld. A Noise Spectroscopy Detector Array for Non-Intrusive Cargo Inspection, *IEEE Trans Nucl Sci*, 63 (2016) 516-523.
- [4] A.J. Gilbert, B.S. McDonald and M.R. Deinert. Advanced algorithms for radiographic material discrimination and inspection system design, *Nucl Instrum Methods Phys Res B*, 385 (2016) 51-58.
- [5] J. Bendahan. Vehicle and Cargo Scanning for Contraband, *Phys Procedia*, 90 (2017) 242-255.
- [6] J. Lee, Y. Lee and S. Cho. A Dual-energy Material Decomposition Method for High-energy X-ray Cargo Inspection, *J Korean Phys Soc*, 61 (2012) 821-824.
- [7] L. Li, R. Li, S. Zhang, T. Zhao and Z. Chen. A dynamic material discrimination algorithm for dual MV energy X-ray digital radiography, *Appl Radiat Isot*, 114 (2016) 188-195.
- [8] L. Li, T. Zhao and A.Z. Chen. First Dual MeV Energy X-ray CT for Container Inspection: Design, Algorithm, and Preliminary Experimental Results, *IEEE Access*, 6 (2018) 45534-45542.
- [9] S. Ogorodnikov and V. Petrunin. Processing of interlaced images in 4–10 MeV dual energy customs system for material recognition, *Phys Rev ST Accel Beams*, 5(10) (2002) (1-11).
- [10] Y. Gil, Y. Oh, M. Cho and W. Namkung. Radiography simulation on single-shot dual-spectrum X-ray for cargo inspection system, *Appl Radiat Isot*, 69 (2011) 389-393.
- [11] Y. Xing, L. Zhang, X. Duan, J. Cheng and Z. Chen. A Reconstruction Method for Dual High-Energy CT with MeV X-Rays, *IEEE Trans Nucl Sci*, 58(2) (2011) 537-546.
- [12] G. Chen, G. Bennett and D. Perticone. Dual-energy X-ray radiography for automatic high-Z material detection, *Nucl Instrum Methods Phys Res B*, 261 (2007) 356-359.
- [13] P.M. Shikhaliev. Large-scale MV CT for cargo imaging: A feasibility study, *Nucl Instrum Methods Phys Res A*, 904 (2018) 35-43.
- [14] S.P. Osipov, S.V. Chakhlov, O.S. Osipov, S. Li, X. Sun, J. Zheng, X. Hu and G. Zhang. Physical and Technical Restrictions of Materials Recognition by the Dual High Energy X-ray Imaging, *Int J Appl Eng Res*, 12(23) (2017) 13127-13136.
- [۱۵] میثم غائبی، مجتبی تاجیک و روح الله عظیمی‌راد. شبیه‌سازی مونت کارلوی طیف پرتوی ایکس شتاب‌دهنده Linatron mi-6 برای دو انرژی ۴ و ۶ MeV با استفاده از کد MCNPX کنفرانس فیزیک ایران، دانشگاه رازی کرمانشاه، (۱۳۹۹) ۳۱۱-۳۱۴.
- [16] P.M. Shikhaliev. Megavoltage cargo radiography with dual energy material decomposition, *Nucl Instrum Methods Phys Res A*, 882 (2018) 158-168.
- [17] M. Kurudirek and A. Çelik. A simple method to determine effective atomic numbers of some compounds for multi-energetic photons, *Nucl Instrum Methods Phys Res A*, 689 (2012) 75-78.